Arch. Pharm. (Weinheim) 318, 70-78 (1985)

Thiophen als Strukturelement physiologisch aktiver Substanzen, 13. Mitt.¹⁾

Thiophenanaloga antiviraler Flavane

Dieter Binder*, Christian R. Noe, Wolfgang Holzer

Institut für Organische Chemie der Technischen Universität, Getreidemarkt 9, A-1060 Wien

und Brigitte Rosenwirth

Sandoz Forschungsinstitut, Brunnerstraße 59, A-1235 Wien Eingegangen am 19. September 1983

Die Synthese einiger Thiophenanaloga des 4',6-Dichlorflavans und anderer Flavanderivate durch isomerisierende Cyclisierung wird beschrieben. Diese Verbindungen erwiesen sich als weniger wirksam gegen Rhinoviren als die Flavane. Sie zeigten bemerkenswerterweise das gleiche Wirkungsspektrum wie die Vergleichssubstanz: Die gleichen Rhinovirus-Serotypen wurden gehemmt bzw. waren insensitiv; gegen Enteroviren war keine der untersuchten Substanzen aktiv.

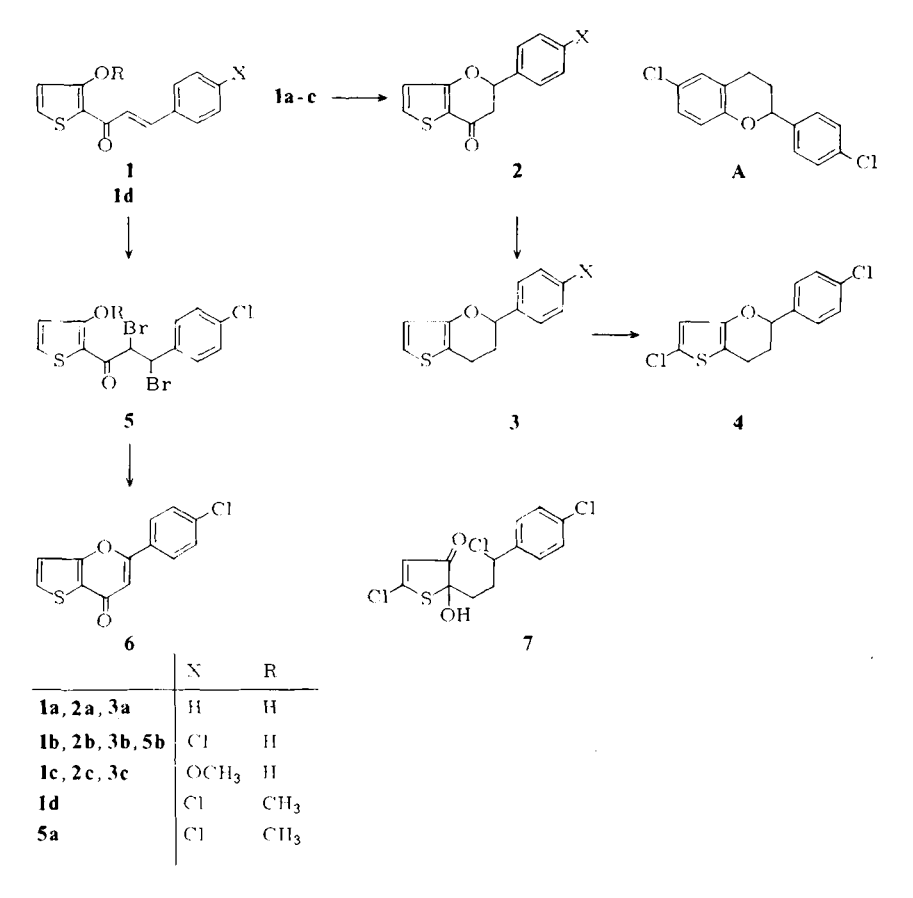
Thiophene as a Structural Element of Physiologically Active Compounds, XIII: Thiophene Analogues of Antiviral Flavanes

The syntheses of several thiophene analogues of 4',6-dichloroflavan and other flavan derivatives are described using cyclisation under conditions of isomerisation. The products are less active against rhino virus than the flavans. Remarkably, they show the same serotype specifity as the reference compound: the same subset of rhino virus serotypes was sensitive or insensitive to inhibition. None of the substances under investigation was active against entero virus.

Die antivirale Aktivität des Flavans und einiger seiner Derivate wurde kürzlich beschrieben²⁾. Einige dieser Verbindungen erwiesen sich als potente Inhibitoren der Vermehrung bestimmter Rhinovirus-Serotypen. Die wirksamste Substanz war 4',6-Dichlorflavan (A); selbst in gasförmiger Phase ließ sich ihre antivirale Wirkung nachweisen³⁾. Nachdem toxikologische und pharmakologische Untersuchungen eine hervorragende Verträglichkeit gezeigt hatten, wurde Dichlorflavan bereits in ersten Humanversuchen getestet⁴⁾.

In der vorhergehenden Mitt.¹⁾ haben wir über die Herstellung von Thiophenanaloga antiviraler Chalkone berichtet. Untersuchungsergebnisse in Hinblick auf eine mögliche antivirale Aktivität dieser Substanzen waren wenig versprechend. Eine Untersuchung von aus solchen Verbindungen zugänglichen Thiophenanaloga von Flavanen schien dennoch sinnvoll, weil antiviral aktive Flavane einen anderen Wirkungsmechanismus zeigen als Chalkone (vgl.¹⁾).

0365-6233/85/0101-0070 \$ 02.50/0



Schema 1

Chemischer Teil

Cyclisierungen von Chalkonen zu Flavanstrukturen erfolgen üblicherweise oxidativ, reduktiv oder durch Isomerisierung. Oxidative Cyclisierungen führen in der Regel zu Produktgemischen, Vorversuche unter reduzierenden Bedingungen waren wenig erfolgreich (keine Reaktion von 1b mit Natriumborhydrid in Ethanol), so daß versucht wurde, optimale Bedingungen für eine isomerisierende Cyclisierung zu erarbeiten. Unter alkalischen Bedingungen kam es nur in einem geringen Umfang (Natriumacetat in Ethanol) oder gar nicht (ethanol. Natronlauge) zum Ringschluß; bei Versuchen zur Cyclisierung von 1b und 1c mit Pyridinhydrochlorid bzw. Chlorwasserstoff/Eisessig wurde eine beträchtliche Nebenproduktbildung beobachtet; Rückflußkochen von 1a bis 1c in ethanol. Salzsäure oder ethanol. Phosphorsäure brachte schließlich gute Ausbeuten an 2a-2c. Durch Verwendung von Methoxyethanol als Lösungsmittel ließen sich die erforderlichen Reaktionszeiten verkürzen.

Die Reduktion von 2a bzw. 2b zu 3a und 3b gelang gut mit Lithiumalanat/ Aluminiumchlorid. Bei der Reduktion von 2c kam es unter diesen Bedingungen zu irreversiblen Pyran-Ringöffnungen, so daß in diesem Fall die *Clemmensen*-Reduktion angewandt wurde.

Die positionsselektive Chlorierung zum Endprodukt 4 erfolgte durch Umsatz mit äquimol. Mengen Sulfurylchlorid oder N-Chlorsuccinimid (NCS), wobei das Verschwinden des Thiophensignals bei tiefem Feld im ¹H-Kernresonanzspektrum den Eintritt des Chlors in der erwarteten Position bestätigte. Bei sämtlichen Chlorierungen war eine Abtrennung von nicht umgesetztem Edukt erforderlich. Ein Überschuß an Chlorierungsmittel führte zu Weiterreaktionen unter Pyran-Ringöffnung, wobei für das unter Einwirkung von überschüssigem Sulfurylchlorid auf 3b erhaltene Produkt die Struktur 7 aufgrund der ¹H- und ¹³C-Kernresonanzspektren wahrscheinlich gemacht werden konnte.

Flavane lassen sich nicht nur durch Reduktion von Flavanonen, sondern auch durch Reduktion von Flavonen herstellen. Da für die Herstellung der Thiophenanaloga letzterer Verbindungsklasse bereits ein Verfahren beschrieben ist⁵⁾, wurde diese Synthesealternative zum Vergleich untersucht. An das Chalkon **1d** wurde Brom addiert und die erhaltene Verbindung **5d** mit Bortribromid selektiv ethergespalten. Der Ringschluß zum Flavon **6** gelang mit Pyridinhydrochlorid. Da dieses Reagens auch sehr gut zur Etherspaltung geeignet ist, wurde in der Folge versucht, Etherspaltung, Cyclisierung und Eliminierung in einem Schritt durchzuführen, was auch bei ca. 200° in recht guten Ausbeuten gelang. Versuche, die Hydrierung von **6** zu **2b** unter den für eine Flavon-Flavanon Reduktion üblichen Bedingungen (katalyt. Hydrierung unter Palladiumkatalyse) durchzuführen, ergaben keinen Umsatz, so daß diese Synthesealternative nicht weiter verfolgt wurde.

Diskussion der Ergebnisse der Untersuchungen zur antiviralen Aktivität

Die untersuchten Thiophenanaloga 2b, 3b und 4 der gegen Rhinoviren wirksamen Flavanderivate zeigten eine deutlich geringere antivirale Aktivität.

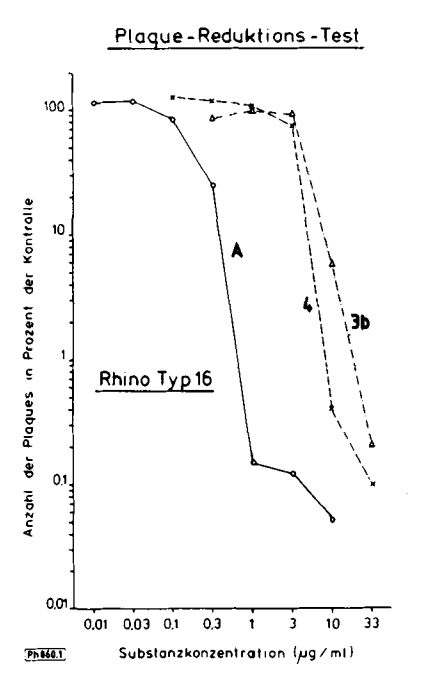
Die Ergebnisse bestätigen²⁾, daß Dichlorflavan (A) im Vergleich zu einer anderen, gegen Rhinoviren hochaktiven Substanz, dem Enviroxim^{6,7)}, nur ein schmales Wirkungsspektrum besitzt. Aus unserem Kollektiv von 9 Rhinovirus-Serotypen werden nur 4 gehemmt, nämlich Rhino Typen 2, 16, 33 und 50. Gegen alle untersuchten Enteroviren (Polio, Coxsackie, Echo) und Encephalomyocarditis-Virus (EMC) ist die Substanz inaktiv. Unsere Verbindungen haben als wahre Analoga das gleiche Wirkspektrum; ihre MHK-Werte liegen jedoch um einen Faktor 3–10 für 4 bzw. 30–100 für 3b über denen der Vergleichssubstanz; 2b war inaktiv.

Die Zelltoxität unserer Verbindungen ist der des Dichlorflavans vergleichbar bei 4 bzw. leicht höher bei 3b und deutlich höher bei 2b. Die Toxizität von 2b könnte eine schwache antivirale Aktivität im Konzentrationsbereich von $> 10 \,\mu\text{g/ml}$ maskieren.

Der Ersatz eines Benzolringes der Flavanderivate durch ein Thiophen führt offensichtlich zu einer Reduktion der antiviralen Wirksamkeit.

Tab. 1: Antivirale Wirksamkeit

Viren			MHK (µg/ml)			Virus Rating		
	Dichlor- flavan	4	3Ь	2b	Dichlor- flavan	4	3 b	2 b
Rhino Typ 2	1-0,3	10-3	10	>10	2,2	1,3	0,7	0
Rhino Typ 3	>100	>100	>33	>10	0	0	0	0
Rhino Typ 14	>100	>100	>33	>10	0	0	0	0
Rhino Typ 16	0,3-0,1	1-0,3	10-3	>10	3,4	2,7	1,9	0
Rhino Typ 33	0,3	3	10	>10	2,6	1,9	1,2	0
Rhino Typ 37	>100	>100	>33	>10	0	0	0	0
Rhino Typ 48	>100	>100	>33	>10	0	0	0	0
Rhino Typ 50	1	3	33	>10	3,2	1,3	8,0	0
Rhino Typ 55	>100	>100	>33	>10	0	0	0	0
Polio Typ 2	>100	>100	>33	>10	0	0	0	0
Coxsackie B3	>100	>100	>33	3	0	0	0	0,1
Echo Typ 9	>100	>100	>33	>10	0	0	0	0
EMC	>100	>100	>33	n.u.	0	0	0	n.u.
MTK (μg/ml)	333–100	333-100	100-33	10				



Experimenteller Teil

Allg. Angaben: vgl.1)

5,6-Dihydro-5-phenyl-7H-thieno[3,2-b]pyran-7-on (2a)

Eine Mischung aus 1,75 g (7,6 mmol) 1a, 87,5 ml EtOH, 17,5 ml H_2O und 8,75 g konz. HCl wurde 44 h unter N_2 rückflußerhitzt. Dann wurde auf H_2O gegossen, mit Ether extrahiert, die vereinigten Etherphasen mit 1N-NaOH geschüttelt, mit H_2O nachgewaschen, unter Zusatz von Aktivkohle getrocknet und i. Vak. eingedampft. Der Rückstand (0,84 g) wurde aus n-Hexan unter Zusatz von Aktivkohle umkristallisiert. Ausb.: 0,63 g (36 % d. Th.). Die vereinigten NaOH-Phasen wurden mit konz. HCl angesäuert, mit Ether extrahiert, die organische Phase getrocknet und eingedampft. Es wurden 0,87 g nicht umgesetztes 1a rückgewonnen. 2a: farblose Kristalle, Schmp. 117–118° (n-Hexan). 1 H-NMR (CDCl₃): δ (ppm) = 7,59 u. 6,74 (AB-System, J = 5,3 Hz, 2H, Th), 7,42 (s, 5H, Ph), 5,40–5,70 (ABX-System, X-Teil, 1H, -O-CH-Ar), 2,60–3,30 (ABX-System, AB-Teil, 2H, -CH₂-); IR (KBr): 3100 (w, C-H arom.), 2900 (w, C-H aliph.), 1665 (s, C=O), 1530 (s), 1440 (s), 1040 (s), 750 (s), 710 cm⁻¹ (s); $C_{13}H_{10}O_3S$ (230,28) Ber.: C 67,8 H 4,38; Gef.: C 68,0 H 4,33.

5-(4-Chlorphenyl)-5,6-dihydro-7H-thieno[3,2-b]pyran-7-on (2b) A) Cyclisierung von 1b in ethanol. HCl

Aus 2,8 g (10,6 mmol) **1b** nach der für **2a** angegebenen Vorschrift. Ausb. 1,12 g (40 % d. Th.) **2b**, farblose Kristalle, Schmp. 81–83° (Petrolether). 1 H-NMR (CDCl₃): δ (ppm) = 7,65 u. 6,78 (AB-System, J = 5,3 Hz, 2H, Th), 7,40 (s, 4H, Ph), 5,42–5,71 (ABX-System, X-Teil, 1H, -CH₂-CH-Ar), 2,60–3,28 (ABX-System, AB-Teil, 2H, -CO-CH₂-CH); 13 C-NMR (CDCl₃): δ (ppm) = 184,5 (s, C=O), 165,6 (s, C-3a), 136,6 (s, C-1Ph), 135,2 (d, C-2), 134,6 (s, C-4Ph), 129,0 (d, C-2Ph u. C-6Ph)*, 127,6 (d, C-3Ph u. C-5Ph)*, 118,8 (d, C-3), 116,9 (s, C-7a), 81,6 (d, C-5), 43,5 (t, C-6); IR (KBr): 3090 (w, C-H arom.), 2880 (w, C-H aliph.), 1650, 1670 (s, C=O), 1520 (s), 1485 (s), 1440 (s), 1400 (s), 1350 (s), 1325 (m), 1300 (s), 1220 (m), 1090 (m), 1035 (s), 1010 (s), 880 (m), 830 (s), 820 (s), 745 cm⁻¹ (s); C₁₃H₉ClO₂S (264,73) Ber.: C 59,0 H 3,43; Gef.: C 59,1 H 3,52.

B) Cyclisierung mit H₃PO₄ in Methoxyethanol

Eine Lösung von 19,2 g (72,5 mmol) **1b** in 550 ml Methoxyethanol wurde mit 55 ml 85proz. H_3PO_4 19 h unter Rückfluß erhitzt. Anschließend wurde auf H_2O gegossen, mit CH_2CI_2 extrahiert, die organische Phase mit 2N-NaOH geschüttelt (ausfallende Produkte wurden über Hyflo abfiltriert), mit H_2O gewaschen, unter Zusatz von Aktivkohle getrocknet und i. Vak. eingedampft. Der Rückstand (6,5 g) wurde aus Petrolether umkristallisiert und 5,0 g (26 % d. Th.) **2b** erhalten. Die vereinigten NaOH-Phasen und der Hyflokuchen wurden mit konz. HCl angesäuert, filtriert, das Filtrat mit CH_2CI_2 extrahiert, die organische Phase mit H_2O gewaschen, getrocknet und eingedampft. Es verblieben 10,5 g nicht umgesetztes **1b**.

5,6-Dihydro-5-(4-methoxyphenyl)-7H-thieno[3,2-b]pyran-7-on (2c)

Eine Mischung aus 7,7 g (29,6 mmol) 1c, 385 ml EtOH, 78 ml H_2O und 38,5 g konz. HCl wurde 48 h unter N_2 rückflußgekocht. Das Gemisch wurde auf H_2O gegossen, mit Ether extrahiert, die vereinigten Etherphasen mit 1N-NaOH extrahiert (ausgefallene Produkte wurden über Hyflo abgesaugt), mit H_2O gewaschen, unter Zusatz von Aktivkohle getrocknet und i. Vak. eingedampft. Der Rückstand (2,27 g) wurde aus EtOH unter Zusatz von Aktivkohle umkristallisiert und 1,9 g (25 % d. Th.) 2c erhalten. 4,9 g nicht umgesetztes 1c wurden rückgewonnen. 2c: farblose Kristalle, Schmp. 84–85° (EtOH); 1 H-NMR (CDCl₃): δ (ppm) = 7,64 u. 6,77 (AB-System, J = 5,3 Hz, 2H, Th), 7,43 u. 6,96 (AB-System, J = 8,7 Hz, 4H, Ph), 5,39–5,68 (ABX-System, X-Teil, 1H, -O-CH-Ar), 3,80 (s, 3H, -OCH₃), 2,58–3,32 (ABX-System, AB-Teil, 2H, -CH₂-); IR (KBr): 3100 (w, C-H arom.), 2920 (w, C-H aliph.), 1680, 1660 (s, C=O), 1530 (s), 1510 (s), 1250 (s), 1040 (s), 830 (s), 750 cm⁻¹ (s); $C_{14}H_{12}O_3S$ (260,31) Ber.: C 64,6 H 4,65; Gef.: C 64,7 H 4,68.

6,7-Dihydro-5-phenyl-5H-thieno[3,2-b]pyran (3a)

Eine Suspension von 86 mg (2,27 mmol) LiAlH₄ in 2 ml absol. Ether wurde bei 0° zu 606 mg (4,54 mmol) wasserfreiem AlCl₃ in 2 ml absol. Ether zugetropft. Anschließend wurden 300 mg (1,30 mmol) **3a** in 13 ml absol. Ether unter Eiskühlung so zugetropft, daß die Temp. nicht über 10° stieg. Nach dem Ende der Zugabe wurde 20 min unter Rückfluß erhitzt, auf 0° abgekühlt und ca. 15 ml H₂O-gesättigter Ether zugetropft. Das Gemisch wurde auf 40 ml eisgekühlte 20 proz. H₂SO₄ gegossen, die wäßrige Phase mit Ether extrahiert, die organische Phase mit H₂O gewaschen, unter Zusatz von Aktivkohle getrocknet und eingedampft. Ausb. 250 mg (89 % d. Th.) farbloses Öl. Für die Analyse wurde ein Teil des Öles in EtOH aufgenommen, mit Aktivkohle versetzt, kurz aufgekocht, filtriert und bei -20° ausgefroren. **3a**: farblose Kristalle, Schmp. 24° (EtOH); 1 H-NMR (CDCl₃): δ (ppm) = 7,26 (s, 5H, Ph); 6,88 u. 6,58 (AB-System, J = 5,7 Hz, 2H, Th), 4,81–5,03 (m, 1H, -O-CH-Ar), 2,63–2,90 (m, 2H, Th-CH₂), 1,98–2,23 (m, 2H, Th-CH₂-CH₂-); IR (fl.): 3060, 3030 (w, C-H arom.), 2920, 2850 (m, C-H aliph.), 1565 (s), 1400 (s), 1240 (s), 1050 (s), 700 cm⁻¹ (s); C₁₃H₁₂OS (216,30) Ber.: C 72,2 H 5,59; Gef.: C 72,4 H 5,73.

5-(4-Chlorphenyl)-6,7-dihydro-5H-thieno[3,2-b]pyran (3b)

Aus 1,24 g (32,68 mmol) LiAlH₄, 8,73 g (65,4 mmol) wasserfreiem AlCl₃ und 4,95 g (18,70 mmol) **2b** nach der für **3a** angegebenen Vorschrift. Ausb.: 4,12 g (88 % d. Th.) **3b**; farblose Kristalle, Schmp. 59–60° (EtOH); 1 H-NMR (CDCl₃): δ (ppm) = 7,33 (s, 4H, Ph), 6,99 u. 6,65 (AB-System, J = 5,3 Hz, 2H, Th), 4,88–5,09 (m, 1H, -O-CH-Ar), 2,70–3,00 (m, 2H, Th-CH₂-), 1,98–2,29 (m, 2H, Th-CH₂-CH₂-); 13 C-NMR (CDCl₃): δ (ppm) = 152,9 (s, C-3a), 140,9 (s, C-Ph), 134,7 (s, C-4Ph), 129,8 (d, C-2Ph u. C-6Ph)*, 128,6 (d, C-3Ph u. C-5Ph)*, 122,4 (d, C-2), 119,8 (d, C-3), 112,8 (s, C-3), 112,8 (s, C-7a), 78,7 (d, C-5), 31,4 (t, C-6), 22,6 (t, C-7); IR (KBr): 2910 (m, C-H aliph.), 1550 (s), 1485 (s), 1390 (s), 1230 (s), 1080 (s), 1040 (s), 1010 (s), 815 (s), 715 (s), 705 cm⁻¹ (s); C₁₃H₁₁ClOS (250,74) Ber.: C 62,3 H 4,42; Gef.: C 62,1 H 4,37.

6,7-Dihydro-5-(4-methoxyphenyl)-5H-thieno[3,2-b]pyran (3c)

4 g Zn-Staub wurden mit 0,32 g HgCl₂ vermengt, mit 6 ml H_2O und 0,2 ml konz. HCl versetzt, 5 min gerührt und die Flüssigkeit dekantiert. Der Rückstand wurde mit einer Lösung von 200 mg (0,77 mmol) 2c in 7,5 ml AcOH und 1 ml konz. HCl versetzt und 1 h gerührt. Anschließend wurde auf H_2O gegossen, mit Ether extrahiert, die vereinigten Etherphasen mit H_2O gewaschen, getrocknet und eingedampft. Der Rückstand wurde aus MeOH unter Zusatz von Aktivkohle umkristallisiert. Ausb. 100 mg (53 % d. Th.) farblose Kristalle, Schmp. 74–75° (MeOH); 1 H-NMR (CDCl₃): δ (ppm) = 7,29 u. 6,85 (AB-System, J = 8,7 Hz, 4H, Ph), 6,95 u. 6,62 (AB-System, J = 5,7 Hz, 2H, Th), 4,80–5,02 (m, 1H, -O-CH-Ar), 3,72 (s, 3H, -OCH₃), 2,60–2,95 (m, 2H, Th-CH₂-), 2,04–2,33 (m, 2H, Th-CH₂-C \underline{H}_2 -); IR (KBr): 3090 (w, C-H arom.), 3000, 2960, 2910 (m, C-H aliph.), 1610 (m), 1560 (s), 1510 (s), 1395 (s), 1300 (s), 1280 (s), 1250 (s), 1230 (s), 1180 (s), 1170 (s), 1080 (s), 1050 (s), 1030 (s), 830 (s), 810 (s), 715 (s), 705 cm⁻¹ (s); $C_{14}H_{14}O_2S$ (246,32) Ber.: C 68,3 H 5,73; Gef.: C 68,3 H 5,76.

2-Chlor-5-(4-chlorphenyl)-6,7-dihydro-5H-thieno[3,2-b]pyran (4) A) Chlorierung mit Sulfurylchlorid

In eine Lösung von 2g (8 mmol) **3b** in 40 ml absol. CH₂Cl₂ wurden bei 13–15° innerhalb 5 min 1,08 g (8 mmol) SO₂Cl₂ in 12 ml absol. CH₂Cl₂ zugetropft. Nach Ende der Zugabe wurde noch genau 10 min gerührt, auf überschüssige 2N-KOH gegossen, mit Ether extrahiert, die vereinigten organischen Phasen mit H₂O gewaschen, getrocknet und eingedampft. Der Rückstand (2 g) wurde sc (200 g Kieselgel, Petrolether/Benzol 2:1). Es wurden 0,8 g (35 % d. Th.) 4 und 0,2 g nicht umgesetztes **3b**

erhalten. Für die Analyse wurde aus EtOH unter Zusatz von Aktivkohle umkristallisiert. Farblose Nadeln, Schmp. 86– 87° (EtOH); 1 H-NMR (CDCl₃): δ (ppm) = 7,30 (s, 4H, Ph), 6,50 (s, 1H, Th), 4,85–5,09 (m, 1H, -O-CH-Ar), 2,60–2,88 (m, 2H, Th-CH₂-), 1,98–2,30 (m, 2H, Th-CH₂-CH₂-); 13 C-NMR (CDCl₃): δ (ppm) = 149,7 (s, C-3a), 139,2 (s, C-1Ph), 133,8 (s, C-4Ph), 128,6 (d, C-2Ph u. C-6Ph)*, 127,3 (d, C-3Ph u. C-5Ph)*, 126,5 (s, C-2), 118,1 (d, C-3), 110,4 (s, C-7a), 77,6 (d, C-5), 30,1 (t, C-6), 21,1 (t, C-7); IR (KBr): 3080 (w, C-H arom.), 2920 (m, C-H aliph.), 1570 (s), 1490 (m), 1390 (s), 1320 (m), 1180 (m), 1070 (s), 1015 (s), 995 (s), 830 (s), 820 cm⁻¹ (s); C₁₃H₁₀Cl₂OS (285,19) Ber.: C 54,7 H 3,53; Gef.: C 54,8 H 3,63.

B) Chlorierung mit NCS

Eine Lösung von $0.5 \, \mathrm{g}$ (1,99 mmol) **3b** in 10 ml AcOH wurde mit 100 mg NCS versetzt, unter N_2 auf Rückflußtemp. gebracht, 256 mg NCS (insges. 1,99 mmol) portionsweise zugegeben und 1 h unter N_2 rückflußgekocht. Anschließend wurde auf $\mathrm{H}_2\mathrm{O}$ gegossen, mit Ether extrahiert, die vereinigten Etherphasen mit Na-Thiosulfatlösung, 2N-NaOH und $\mathrm{H}_2\mathrm{O}$ gewaschen, getrocknet und i. Vak. eingedampft. Der Rückstand (300 mg) wurde sc (100 g Kieselgel: Benzol/Petrolether 1:1). Neben 50 mg nicht umgesetztem **3b** konnten 80 mg (14 % d. Th.) 4 erhalten werden, welches mit dem nach A hergestellten Produkt identisch war.

C) Reaktion von 3b mit überschüssigem SO₂Cl₂

In eine Lösung von 590 mg (2,35 mmol) **3b** in 5 ml CHCl₃ wurden bei 16–17° 286 mg (2,12 mmol) SO_2Cl_2 in 5 ml CHCl₃ innerhalb 20 min getropft. Anschließend wurde 1 h bei 35–40° gerührt. Nach Zugabe von weiteren 400 mg (2,96 mmol) SO_2Cl_2 in 10 ml CHCl₃ wurde 20 min bei 35° nachgerührt. Es wurde auf 1N-KOH gegossen, mit H_2O gewaschen, getrocknet und i. Vak. eingedampft. Der Rückstand wurde sc (25 g Kieselgel, Benzol/Petrolether 1:1) gereinigt. Ausb. 360 mg (45 % d. Th.) **7**, farbloses Öl. Für die Analyse wurde eine präp. DC-Platte entwickelt. 1H -NMR (CDCl₃): δ (ppm) = 7,37 (s, 4H, Ph), 6,30 (s, 1H, Th), 4,60–5,00 (m, 1H, -CH-Cl), 1,90–2,75 (m, 4H, -CH₂-CH₂-); 13 C-NMR (CDCl₃): δ (ppm) = 194,9 (s, C=O), 167,5 (s, C-5Th), 138,9 (s, C-1Ph), 134,2 (s, C-4Ph), 128,8 (d, C-2Ph u. C-6Ph)*, 128,0 (d, C-3Ph u. C-5-Ph)*, 118,5 (d, C-4Th), 80,5 (s, C-2Th), 61,0 (d, C-3), 37,5 (t, Th-CH₂-)**, 35,4 (t, Th-CH₂-CH₂-CH-)**; IR (fl.): 3100 (m, C-H arom.), 2960, 2940 (m, C-H aliph.), 1700 (s, C=O), 1530 (s), 1490 (s), 1240 (s), 1090 (s), 1010 (s), 965 (s), 820 cm⁻¹ (s); $C_{13}H_{11}Cl_3O_2S$ (337,65) Ber.: C 46,2 H 3,28; Gef.: C 46,3 H 3,28.

1-(3-Methoxy-2-thienyl)-3-(4-chlorphenyl)-2,3-dibrompropan-1-on (5a)

2,23 g (8 mmol) 1d wurden unter Erwärmen in 40 ml AcOH gelöst und bei RT 1,28 g (8 mmol) Br₂ in 10 ml AcOH innerhalb 15 min zugetropft. Nach Ende der Zugabe wurde auf 40° erwärmt, wobei der Niederschlag in Lösung ging und das Reaktionsgemisch sich entfärbte. Nach 30 min Nachrühren wurde auf Eiswasser gegossen, der Niederschlag mehrmals mit H_2O gewaschen und bei 70° i. Vak. getrocknet. Der Rückstand (3,4 g) wurde aus EtOH unter Zusatz von Aktivkohle umkristallisiert. Ausb. 2,7 g (77 % d. Th.) 5a; farblose Kristalle, Schmp. 167–170° (EtOH); 1 H-NMR (CDCl₃): δ (ppm) = 7,68 u. 6,92 (AB-System, J = 5,4 Hz, 2H, Th), 7,39 (s, 4H, Ph), 6,03 u. 5,57 (AB-System, J = 11,5 Hz, 2H, -CHBr-CHBr-), 4,10 (s, 3H, -OCH₃); IR (KBr): 2910 (w, C-H aliph.), 1630 (s, C=O), 1535 (s), 1420 (s), 1380 (s), 1240 (s), 1110 (s), 1010 (s), 830 (m), 770 (m), 750 (s), 730 (m), 715 cm⁻¹ (m); $C_{14}H_{11}Br_{2}ClO_{2}S$ (438,56) Ber.: C 38,3 H 2,53; Gef.: C 38,6 H 2,51.

1-(3-Hydroxy-2-thienyl)-3-(4-chlorphenyl)-2,3-dibrompropan-1-on (5b)

Eine Lösung von 175 mg (0.4 mmol) 5a in 1.5 ml absol. CH₂Cl₂ wurde bei 0° mit 100 mg (0.4 mmol) BBr₃ in 1.5 ml absol. CH₂Cl₂ versetzt. Nach Ende der Zugabe wurde auf RT erwärmt, 30 min gerührt

und auf 1N-HCl gegossen. Die wäßrige Phase wurde mit CH_2CI_2 extrahiert, die vereinigten organischen Phasen mit H_2O gewaschen, getrocknet und i. Vak. eingedampft. Der Rückstand (150 mg) wurde aus MeOH unter Zusatz von Aktivkohle umkristallisiert. Ausb. 130 mg (77 % d. Th.) **5b**; farblose Kristalle, Schmp. 183–184° (MeOH); ¹H-NMR (CDCI₃ + d₆-DMSO): δ (ppm) =11,25–11,55 (s, sehr breit, mit D_2O austauschbar, 1H, -OH), 7,71 u. 6,86 (AB-System, J = 6Hz, 2H, Th), 7,48 (s, 4H, Ph), 6,13 u. 5,59 (AB-System, J = 11,3 Hz, 2H, -CHBr-CHBr-); IR (KBr): 3110 (w, C-H arom.), 1620 (s, C=O), 1540 (s), 1490 (s), 1415 (s), 1404 (s), 1200 (s), 1110 (s), 830 (s), 790 (s), 715 cm⁻¹ (s); $C_{13}H_0Br_2CIO_2S$ (424,53) Ber.: C 36,8 H 2,14; Gef.: C 36,9 H 2,14.

5-(4-Chlorphenyl)-7H-thieno[3,2-b]pyran-7-on (6)

1,9 g (4,3 mmol) **5a** wurden mit 60 g H_2O -freiem Pyridinhydrochlorid vermengt, unter N_2 aufgeschmolzen und 30 min bei 205° gerührt. Anschließend wurde auf Eiswasser gegossen, mit CH_2Cl_2 extrahiert, die vereinigten organischen Phasen mit H_2O gewaschen, getrocknet und i. Vak. eingedampft. Der Rückstand (1,0 g) wurde aus EtOH unter Zusatz von Aktivkohle umkristallisiert. Ausb. 0,75 g (66 % d. Th.) **6**; gelbliche Kristalle; Schmp. 178–181° (EtOH); 1H -NMR (CDCl₃): δ (ppm) = 7,80 u. 7,46 (AB-System, J = 9,3 Hz, 4H, Ph), 7,77 u. 7,22 (AB-System, J = 5,3 Hz, 2H, Th), 6,73 (s, 1H, -C=CH-CO-); IR (KBr): 3040 (w, C-H arom.), 1630 (s, C=O), 1400 (m), 1090 (m), 825 (m), 750 cm⁻¹ (m); $C_{13}H_7ClO_2S$ (262,71) Ber.: C 59,4 H 2,69; Gef.: C 59,2 H 2,76.

Biologische Untersuchungen: Material und Methodik

Die Herkunft von Zellen und Viren wurde in einer früheren Mitt.⁸⁾ Rhinoviren, Polio-, Coxsackieund Encephalomyocarditis-Virus (EMC) wurden in HeLa Ohio Zellen vermehrt, Echovirus Typ 9 in GMK Zellen⁹⁾.

Die Vergleichssubstanz 4',6-Dichlorflavan (A) wurde wie beschrieben¹⁰⁾ hergestellt. Alle Substanzen wurden in DMSO gelöst, in Zellkulturmedium verdünnt und mittels Ultraschall gut suspendiert.

Virus-Hemm-Test (Tab. 1): Die Bestimmung der minimalen Hemmkonzentration (MHK), der minimalen toxischen Konzentration (MTK) und die Berechnung des "Virus Rating"^[1] wurden wie beschrieben⁸), durchgeführt. Im wesentlichen wurde die Hemmung des Virus-induzierten zytopathischen Effekts durch verschiedene Substanzkonz. beobachtet und mit den entsprechenden Kontrollen verglichen.

Plaque-Reduktions-Test (Abb. 1): Die in Gegenwart von verschiedenen Substanzkonz. im Zellrasen auftretende Zahl von Virus-induzierten Plaques wurde wie beschrieben⁸⁾ bestimmt und relativ zur Kontrolle ausgedrückt.

Literatur

- 1 12. Mitt.: D. Binder, C. R. Noe, W. Holzer und B. Rosenwirth, Arch. Pharm. (Weinheim), 318, 48 (1985).
- 2 D. J. Bauer, J. W. T. Selway, J. F. Batchelor, M. Tisdale, I. C. Caldwell und D. A. B. Young, Nature (London) 292, 369 (1981).
- 3 D. J. Bauer und J. W. T. Selway in Abstracts of the 1982 ICAAC, Abstr. Nr. 431, Soc. Microbiol., Miami Beach, Fla., 1982.
- 4 R. J. Phillpotts, J. Wallace, D. A. J. Tyrrell, D. S. Freestone und W. M. Shepherd, Arch. Virol. 75, 115 (1983).
- 5 G. Henrio und J. Morel, Tetrahedron Lett. 25, 2167 (1974); G. Henrio, J. Morel und P. Pastour, Tetrahedron 33, 191 (1977).
- 6 J. H. Wikel, C. J. Paget, D. C. DeLong, J. D. Nelson, C. Y. E. Wu, J. W. Paschal, A. Dinner,

- R. J. Templeton, M. O. Chaney, N. D. Jones, und J. W. Chamberlin, J. Med. Chem. 23, 368 (1980).
- 7 D.C. DeLong and S.E. Reed, J. Infect. Dis. 141, 87 (1980).
- 8 D. Binder, C. R. Noe, H. Kollmann und B. Rosenwirth, Arch. Pharm. (Weinheim) 318, 40 (1985).
- 9 B. Rosenwirth und H. J. Eggers, Virology 123, 102 (1982).
- 10 J. F. Batchelor, D. J. Bauer, H. F. Hodson, J. W. T. Selway und D. A. B. Young, Eur. Pat. Appl. 4,579, 17. Oct. 1979; C. A. 92, 128727j (1980).
- 11 R. W. Sidwell in Chemotherapy of Infectious Disease, Chapter 3, p. 31, H. H. Gadebusch, Ed., CRC Press, Cleveland, Ohio, 1976.

[Ph 860]

Arch. Pharm. (Weinheim) 318, 78-84 (1985)

Studies on Potential Antiviral Compounds, XXIII***

2-(Substituted Benzoylamino)-3,5-dichloropyridines and Isosteric Benzamides**

Anna Ferranti⁺, Laura Garuti⁺, Giuseppe Giovanninetti^{*)+}, Mariangela Borgatti⁺⁺ and Anna Maria Bartoletti⁺⁺

- ⁺ Institut für Pharmazeutische Chemie der Universität, Via Belmeloro 6, I-40126 Bologna
- ⁺⁺ Institut für Mikrobiologie und Virologie der Universität, Via S. Giacomo 12, I-40126 Bologna Eingegangen am 31. Oktober 1983

Novel 2-(substituted benzoylamino)-3,5-dichloropyridines and isosteric benzamides were synthesized and tested *in vitro* against the MP strain of herpes simplex virus type 1 [HSV-1(MP)]. The introduction of methoxy groups at the 2- and 6-positions of the benzoyl moiety yielded compounds which significantly inhibit HSV-1(MP) growth. Substitution with fluorine at the 4-position of the benzoyl group resulted in inactive compounds and on the whole led to enhanced cell toxicity. 2-(3-Bromo-2,6-dimethoxybenzoylamino)-3,5-dichloropyridine (11) was the most active compound $(2.06 \log_{10} \text{ units} > 99\% \text{ inhibition at } 100 \mu\text{g/ml})$.

Potentiell antivirale Verbindungen, 23. Mitt.: 2-(Substituierte Benzoylamino)-3,5-dichlorpyridine und isostere Benzamide

Eine Reihe von neuen 2-(substituierten Benzoylamino)-3,5-dichlorpyridinen und isosteren Benzamiden wurde synthetisiert und *in vitro* gegen Herpes simplex Typ 1 [HSV-1(MP)] Virus geprüft. Die Einführung von Methoxygruppen in die 2- und 6-Stellung des Benzoylrestes ergab HSV-1(MP)-wachstumshemmende Verbindungen. Die Substitution mit Fluor in 4-Stellung der Benzoylgruppe ergab inaktive Verbindungen und führte insgesamt zu einer ausgeprägten Toxizität. 2-(3-Brom-2,6-dimethoxybenzoylamino)-3,5-dichlorpyridin (11) erwies sich als die aktivste der geprüften Verbindungen (2,06 log₁₀ Einheiten > 99 %-Hemmung) bei 100 μg/ml).

0365-6233/85/0101-0078 \$ 02.50/0

^{**} Dem italienischen Consiglio Nazionale delle Ricerche danken wir für die Unterstützung unserer Arbeit.